

4

## Situation limite envisagée dans ce cours

La méthode générale de calcul exposée dans le § 3 précédent et permettant d'évaluer de manière quantitative l'importance des processus d'amplification et d'absorption des champs  $w_1$ , est appliquée dans ce cours à une situation limite intéressante qui conduit à des expressions analytiques, dont l'interprétation physique peut être discutée simplement. Nous commençons dans ce § 4, par préciser les hypothèses faites sur les champs  $w_1$  et  $w_{22}'$ .

### a - Hypothèses sur le champ $w_{22}$ excitant la transition $g_2 - e$

(i) Le champ  $w_{22}$  est résonnant

$$w_{22} = w_{e2} \quad (9.1)$$

Sur la figure 3, les niveaux  $|e, N_1, N_2\rangle$  et  $|g_2, N_1, N_2+1\rangle$  sont dégénérés

(ii) Le champ  $w_{22}$  a une vitesse faible

$$\Omega_2 \ll \Gamma \quad (9.2)$$

Compte tenu de (9.1), on déduit de (9.2) que la probabilité par unité de temps d'absorption d'un photon  $w_{22}$  par l'atome dans l'état  $g_2$  est égale à  $\Gamma'_2$  où

$$\Gamma'_2 = \frac{\Omega_2^2}{\Gamma} \quad (9.3)$$

De (9.2) et (9.3) on déduit que

$$\Gamma'_2 = \Gamma \frac{\Omega_2^2}{\Gamma^2} \ll \Gamma \quad (9.4)$$

(iii) Tout en étant très petit devant  $\Gamma$ ,  $\Gamma'_2$  est supposé très grand devant  $R_1$  et  $R_2$ , ce qui implique que  $R_2 \ll \Gamma$  et  $R_1 \ll \Gamma$

$$R_1, R_2 \ll \Gamma'_2 \ll \Gamma \quad (9.5)$$

Pourquoi ces hypothèses ?

- La condition (9.1) n'est pas essentielle. Il suffisait que le niveau excité  $e$  soit beaucoup plus proche de résonance que tous les autres niveaux excités. La condition (9.1) simplifie les calculs.
- Les conditions (9.4) et (9.5) (jointes à la condition (9.6) plus loin) entraînent que les résonances liées à l'effet Raman stimulé entre  $g_1$  et  $g_2$  sont étroites (ces résonances étant étudiées en fonction du désaccord  $\delta_1 = w_{g_1} - w_{g_2}$  du champ  $w_{21}$ ). De même, les effets d'interférence entre les amplitudes d'absorption à partir de  $g_1$  et  $g_2$  apparaîtront sur une plage étroite de valeurs de  $\delta_1$ .
- La condition  $\Gamma'_2 \gg R_2$  entraîne que le niveau  $g_2$  peut être plus rapidement vidé par absorption de rayonnement cohérent à  $w_{22}$  (taux  $\Gamma'_2$ ) que par absorption de rayonnement incohérent (taux  $R_2$ ). C'est cette condition qui permettra d'avoir plus loin un niveau  $g_2$  moins rempli que le niveau  $g_1$  (pas d'inversion de population en l'absence de champ  $w_{21}$ ).

b - Hypothèses sur le champ  $\omega_{L1}$  excitant la transition  $g_1 - e$

(i) le champ  $\omega_{L1}$  a une intensité très faible

Il est en effet considéré comme un champ "sonde". L'atome étant "pompe" par les rayonnements cohérent ( $\omega_{L2}$ ) et incohérent, on applique un champ  $\omega_{L1}$  très faible, le problème étant de voir s'il va être amplifié ou atténué. La fréquence de Rabi  $\Omega_2$ , associée au champ  $\omega_{L1}$ , est donc très petite devant tous les autres taux ou fréquences.

$$\Omega_2 \ll \Omega_2, R_1, R_2, \Gamma \quad (9.6)$$

(ii) Le champ  $\omega_{L1}$  peut être non résonnant, de manière à pouvoir étudier la variation des deux processus avec l'écart à la condition de résonance Raman. Posons

$$\delta_1 = \omega_{L1} - \omega_e \quad (9.7)$$

On suppose cependant que  $|\delta_1|$  reste très petit devant  $\Gamma$ , tout en pouvant être grand devant  $\Omega'_2$ , ce qui est possible, compte tenu de (9.5)

$$\Omega'_2 \lesssim |\delta_1| \ll \Gamma \quad (9.8)$$

En d'autres termes, on peut balayer la résonance Raman, tout en restant toujours résonnant sur la transition  $g_1 - e$ .

Remarque Les conditions de faible intensité (9.1) et (9.6), jointes à (9.8), entraînent que les niveaux habillés ne sont pas séparés d'une quantité supérieure à leur largeur dans la multiplicité  $E(N_1, N_2)$ . Il est alors impossible d'effectuer l'approximation semi-classique sur l'équation pilote écrite dans la base des états habillés. La situation limite étudiée dans ce cours ne se prête donc pas bien à des interprétations en termes de populations de niveaux habillés. Nous allons voir par contre que la méthode des sants quantiques et des fonctions d'état est bien adaptée à une telle limite.

c - Approximations possibles sur les équations d'évolution à l'intérieur d'une multiplicité  $E(N_1, N_2)$

- L'équation de Schrödinger associé à l'hamiltonien effectif (8.5) décrivant l'évolution cohérente à l'intérieur de  $E(N_1, N_2)$  s'écrit pour les amplitudes  $c_e(t)$ ,  $c_1(t)$ ,  $c_2(t)$  apparaissant dans la restriction du vecteur d'état à l'intérieur de  $E(N_1, N_2)$

$$|\Psi(t)\rangle = c_e(t) |e, N_1, N_2\rangle + c_1(t) |g_1, N_1+1, N_2\rangle + c_2(t) |g_2, N_1, N_2+1\rangle \quad (9.9)$$

$$\left\{ \begin{array}{l} \dot{c}_e = -\frac{\tilde{\Gamma}}{2} c_e - i \frac{\Omega_1}{2} c_1 - i \frac{\Omega_2}{2} c_2 \\ \dot{c}_1 = -\left(\frac{R_1}{2} + i \delta_1\right) c_1 - i \frac{\Omega_1}{2} c_e \end{array} \right. \quad (9.10.a)$$

$$\left\{ \begin{array}{l} \dot{c}_2 = -\frac{R_2}{2} c_2 - i \frac{\Omega_2}{2} c_e \end{array} \right. \quad (9.10.b)$$

Nous avons pris  $\Omega_2 = 0$ , compte tenu de (9.1)

- Les conditions (9.4), (9.5), (9.6) et (9.8) entraînent que  $c_e$  varie beaucoup plus vite que  $c_1$  et  $c_2$ . Après un régime transitoire durant un temps de l'ordre de  $1/\tilde{\Gamma}$ ,  $c_e$  est "asservi" par les variables lentes  $c_1$  et  $c_2$ . On peut alors négliger  $\dot{c}_e$  devant  $\frac{\tilde{\Gamma}}{2} c_e$

dans l'équation (9.10.3) qui devient alors une équation algébrique donnant  $c_e$  en fonction de  $c_1$  et  $c_2$

$$t > \frac{1}{\tilde{\tau}} \quad c_e(t) \approx -i \frac{R_1}{\tilde{\tau}} c_1(t) - i \frac{R_2}{\tilde{\tau}} c_2(t) \quad (9.11)$$

Il apparaît ainsi clairement que l'amplitude d'arrivée dans l'état excité est une somme de 2 amplitudes partant de  $g_1$  et  $g_2$  et pouvant interférer.

- Reportons 9.11 dans (9.10.b) et (9.10.c). Il vient

$$t > \frac{1}{\tilde{\tau}} \quad \begin{cases} \dot{c}_1(t) = -\left(\frac{R_1}{2} + \frac{\Omega_1^2}{2\tilde{\tau}} + i\delta_1\right) c_1(t) - \frac{\Omega_1 \Omega_2}{2\tilde{\tau}} c_2(t) \\ \dot{c}_2(t) = -\left(\frac{R_2}{2} + \frac{\Omega_2^2}{2\tilde{\tau}}\right) c_2(t) - \frac{\Omega_1 \Omega_2}{2\tilde{\tau}} c_1(t) \end{cases} \quad (9.12.a)$$

La condition (9.6) permet de négliger  $\Omega_2^2/\tilde{\tau}$  devant  $R_2$  dans (9.12.a) alors que la condition (9.5) permet de négliger  $R_2$  devant  $\Omega_2^2/\tilde{\tau} = \tilde{\tau}'_2$ . On obtient ainsi

$$t > \frac{1}{\tilde{\tau}} \quad \begin{cases} \dot{c}_1(t) = -\left(\frac{R_1}{2} + i\delta_1\right) c_1(t) - \frac{\Omega_1 \Omega_2}{2\tilde{\tau}} c_2(t) \\ \dot{c}_2(t) = -\frac{\tilde{\tau}'_2}{2} c_2(t) - \frac{\Omega_1 \Omega_2}{2\tilde{\tau}} c_1(t) \end{cases} \quad (9.13.a)$$

$$(9.13.b)$$

- Pour étudier ce qui se passe aux temps courts ( $t \leq 1/\tilde{\tau}$ ), il faut revenir aux équations (9.10).

## 5) Evolution du système en l'absence de champ $w_{L1}$ ( $R_1 = 0$ )

### a. Pourquoi une telle étude ?

- Dans le § 6 suivant, nous étudierons les 4 périodes  $[1,2]$ ,  $[1,e]$ ,  $[2,1]$  et  $[e,1]$  au cours desquelles  $N_2$  varie de +1 ou -1 (voir (8.19)). Nous verrons que les 4 probabilités conditionnelles  $P(j/i)$  associées à ces 4 périodes sont proportionnelles à  $\Omega_2^2$ . Pour calculer les 5 probabilités  $P([j,i]) = P(j/i)P(i)$  à l'ordre le plus bas en  $\Omega_2$ , il suffit donc de calculer les probabilités  $P(i)$  de commencer une période dans l'état  $i$  à l'ordre 0 en  $\Omega_2$ . C'est ce que nous faisons dans le § b ci-dessous.
- Les populations stationnaires des deux niveaux, et leur inversion ou non inversion, doivent être déterminées avant que le champ sonde  $w_{L1}$  ne soit appliqué, et en présence du champ rouge  $w_{L2}$ . C'est ce que nous faisons dans le § c ci-dessous.

### b. Calcul des probabilités $P(i)$ de commencer une période dans l'état $i$

- Il apparaît clairement sur la figure 3 du cours VIII que le système ne peut entrer dans  $g_1$  ou  $g_2$  que par un saut quantique à partir de  $e$  (correspondant à une émission spontanée ou induite non-réversible), les probabilités relatives d'aller dans  $g_1$  et  $g_2$  étant respectivement proportionnelles à  $\tilde{\tau}_1/\tilde{\tau}$  et  $\tilde{\tau}_2/\tilde{\tau}$ . On en déduit donc sans approximation

$$\frac{P(1)}{P(2)} = \frac{\tilde{\tau}_1}{\tilde{\tau}_2} \quad (9.14)$$

Comme nous supposons ici  $R_1, R_2 \ll \tilde{\tau}$  nous pouvons remplacer dans (9.14) et dans toute la suite de ce cours,  $\tilde{\tau}_i = \tau_i + R_i$  par  $\tau_i$  et  $\tilde{\tau}'_2 = \tau'_2 + R_2$  par  $\tau'_2$ , ce qui donne

$$\frac{P(1)}{P(2)} \approx \frac{R_1}{R_2}$$

(9.15)

- Evaluons maintenant, de manière aussi simple que possible les probabilités conditionnelles  $P(\text{in:}j / \text{in:}i)$  de commencer une période dans l'état  $j$  sachant que la période précédente a commencé dans l'état  $i$

- La figure 3 du cours VIII montre que, comme on suppose ici  $R_1 = 0$ , le système partant de  $g_1$ , ne peut que "sauter" vers  $e$ . On a donc sans approximation

$$P(\text{in:}j / \text{in:}1) = \delta_{e1} \quad (9.16)$$

- Par ailleurs, si une période commence dans  $e$  et comme on suppose ici  $R \gg R_2$ , le système aura une probabilité plus élevée de sauter vers les états  $g_1$  et  $g_2$  de multiplicités inférieures, que de passer vers l'état  $g_2$  de la même multiplicité puis de sauter vers l'état  $e$  de la multiplicité supérieure. On en déduit

$$P(\text{in:}j / \text{in:}e) \approx \frac{R_1}{R} \delta_{j1} + \frac{R_2}{R} \delta_{j2} \quad \text{à l'ordre le plus bas en } \frac{R'_2}{R} \quad (9.17)$$

- Considérons enfin une période commençant dans  $g_2$ . Comme on suppose ici  $R'_2 \gg R_2$ , le système aura une probabilité moins élevée de sauter dans l'état  $e$  de la multiplicité supérieure, que de passer dans l'état  $e$  de la même multiplicité, puis de sauter dans l'état  $g_1$  ou  $g_2$  de multiplicités inférieures. On en déduit

$$P(\text{in:}j / \text{in:}2) \approx \frac{R_1}{R} \delta_{j1} + \frac{R_2}{R} \delta_{j2} \quad \text{à l'ordre le plus bas en } \frac{R_2}{R'_2} \quad (9.18)$$

- L'équation (8.27) appliquée à  $j=e$  donne

$$P(e) = \sum_i P(\text{in:}e / \text{in:}i) P(i) \quad (9.19)$$

D'après (9.16), (9.17), (9.18), on a

$$P(\text{in:}e / \text{in:}i) \approx \delta_{ei} \quad \text{à l'ordre le plus bas en } \frac{R'_2}{R}, \frac{R_2}{R'_2} \quad (9.20)$$

On en déduit, compte tenu de (9.19)

$$P(e) \approx P(1) \quad \text{à l'ordre le plus bas en } \frac{R'_2}{R}, \frac{R_2}{R'_2} \quad (9.21)$$

- En utilisant (9.15), (9.21) et la condition de normalisation (8.35) sur les  $P(i)$ , on obtient

$$\frac{P(1)}{P_1} = \frac{P(2)}{P_2} \approx \frac{P(e)}{P_1} \approx \frac{1}{2P_1 + P_2} \quad (9.22)$$

ce qui donne finalement (à l'ordre le plus bas en  $\frac{R'_2}{R}, \frac{R_2}{R'_2}$ )

$$P(1) \approx \frac{P_1}{2P_1 + P_2} \quad P(e) \approx \frac{P_1}{2P_1 + P_2} \quad P(2) = \frac{P_2}{2P_1 + P_2} \quad (9.23)$$

### c - Populations stationnaires des états $g_1, g_2, e$

- Ces populations sont proportionnelles aux temps moyens passés dans ces états par le système au cours de son évolution.

- Considérons tout d'abord une période commençant dans l'état  $g_1$ . Comme on suppose ici  $R_1 = 0$ , le système restera dans  $g_1$ , et ce pendant un temps moyen  $1/R_1$ , puisque la solution  $C_1(t)$  de (9.10.b) avec  $R_1 = 0$  et  $C_1(0) = 1$  donne  $|C_1(t)|^2 = e^{-R_1 t}$

- les modes propres de désintégration des équations (9.10) avec  $\Omega_1 = 0$ , sont des états  $|g_2\rangle$  et  $|\bar{e}\rangle$ , très voisins de  $|g_2\rangle$  et  $|e\rangle$  (nous sous-entendons le nombre quantiques  $N_1, N_2$  des photons) puisque  $\Omega_2 \ll \Gamma$ , les temps de désintégration étant  $1/\Gamma'_2$  pour  $|g_2\rangle$  et  $1/\Gamma$  pour  $|\bar{e}\rangle$ .

Lorsqu'une période commence dans l'état  $g_2$ , la proportion de  $\bar{g}_2$  va être prépondérante. Le système va donc rester essentiellement dans l'état  $g_2$  et il va y rester un temps moyen  $1/\Gamma'_2$ .

De même, lorsqu'une période commence dans l'état  $e$ , la proportion d'état  $\bar{e}$  va être prépondérante. Le système va donc rester essentiellement dans l'état  $e$  et il va y rester un temps moyen  $1/\Gamma$ .

- On déduit de ce qui précède que les temps moyens passés par le système dans les états  $g_1, g_2, e$  sont respectivement proportionnels à  $P(1)/R_1$ ,  $P(2)/\Gamma'_2$  et  $P(e)/\Gamma$ , ce qui donne pour les populations stationnaires  $\Pi_1, \Pi_2$  et  $\Pi_e$  de ces états, compte tenu de (9.23) et de la condition de normalisation des  $\Pi_i$ :

$$\frac{\Pi_1}{\frac{R_1}{2\Gamma + R_2} \frac{1}{R_1}} = \frac{\Pi_2}{\frac{R_2}{2\Gamma + R_2} \frac{1}{\Gamma'_2}} = \frac{\Pi_e}{\frac{R_1}{2\Gamma + R_2} \frac{1}{\Gamma}} = \frac{1}{\frac{R_1}{2\Gamma + R_2} \left(\frac{1}{R_1} + \frac{1}{\Gamma}\right) + \frac{R_2}{2\Gamma + R_2} \frac{1}{\Gamma'_2}} \quad (9.24)$$

Comme  $\Gamma \gg R_1, \Gamma'_2$ , il apparaît sur (9.24) que  $\Pi_e$  est négligeable devant  $\Pi_1$  et  $\Pi_2$ , de sorte que

$$\frac{\Pi_1}{\frac{R_1}{R_1} \frac{1}{R_1}} \simeq \frac{\Pi_2}{\frac{R_2}{\Gamma'_2} \frac{1}{\Gamma'_2}} \quad (9.25)$$

- La condition de non-inversion de populations, en l'absence de champ  $w_{L1}$ , mais en présence de champ  $w_{L2}$ , s'écrit donc

$$\Pi_2 < \Pi_1 \rightarrow \frac{\Gamma_2}{\Gamma'_2} < \frac{R_1}{R_1} \rightarrow \frac{\Gamma_2}{\Gamma_1} < \frac{\Gamma'_2}{R_1} \quad (9.26)$$

### Rémark:

Un calcul analogue fait avec  $\Omega_2 = 0$  (en plus de  $\Omega_1 = 0$ ) donnerait  $\Pi_1 / (\Gamma_1 / R_1) = \Pi_2 / (\Gamma_2 / R_2)$ ,  $\Pi_e$  restant négligeable si  $\Gamma \gg R_1, R_2$ . La condition de non inversion serait donc  $\Gamma_2 / \Gamma_1 < R_2 / R_1$ .

En général, dans la théorie des lasers à effet Raman stimulé, on calcule les populations stationnaires avec  $\Omega_1 = \Omega_2 = 0$ . La raison est que les 2 champs  $w_{L1}$  et  $w_{L2}$  sont très loin de résonance et que les pertes par émission spontanée dues au champ  $w_{L2}$  sont négligeables, de sorte que, pour  $\Omega_1 = 0$ , les populations de niveaux sont les mêmes que  $\Omega_2$  soit nul ou non. Dans le schéma de Imamoglu, Feld et Harris étudié ici, il faut tenir compte de l'effet du champ  $w_{L2}$  puisqu'on s'est placé volontairement à résonance pour introduire des pertes radiatives. En présence du champ  $w_{L1}$ , et comme  $\Omega_2 \gg \Omega_1$ , l'état  $|g_1\rangle$  sera très voisin de l'état non couplé alors que l'état  $|g_2\rangle$  sera très voisin de l'état couplé. On peut donc espérer que les pertes radiatives n'affecteront pas trop le champ  $w_{L1}$  à cause des

interférences quantiques bloquant l'absorption à partir de  $g_1$ , alors qu'elles seront efficaces pour vider l'état  $g_2$  et obtenir ainsi un mélange non inversé

## ⑥ Processus augmentant ou diminuant le nombre $N_1$ de photons $\omega_{L1}$

### a - Gain par effet Raman stimulé $g_2 \rightarrow g_1$

- D'après (8.19.a), un tel processus se produit pendant les périodes  $[1,2]$  de probabilité  $P([1,2]) = P(2)P(1/2)$

- Pour calculer

$$P(1/2) = R_1 \int_0^\infty |C_{12}(t)|^2 dt \quad (9.27)$$

(voir (8.24) et (8.7)), il faut résoudre l'équation de Schrödinger (9.10) et trouver la valeur de  $C_1(t)$  correspondant à la condition initiale  $C_1(0) = \delta_{j1}$ , valeur notée  $C_{12}(t)$  d'après (8.6)

- Comme  $C_{22}(0) = 0$ , le régime transitoire de durée  $1/R$  au voisinage de  $t=0$  a une influence négligeable sur  $C_{12}(t)$  et  $C_{22}(t)$  et on peut utiliser les équations (9.13)

A l'ordre le plus bas en  $\frac{\Omega_1}{\Gamma}$  et  $\frac{\Omega_2}{\Gamma}$ , on peut utiliser la solution

$$C_{22}(t) = e^{-\frac{R'_2}{2}t} \quad (9.28)$$

correspondant à  $C_{22}(0) = 1$ , et reporter cette solution dans le second membre de (9.13.a) où elle est multipliée par  $-\Omega_1 \Omega_2 / 2\Gamma$ . On obtient alors

$$\dot{C}_{12}(t) + \left(\frac{R_1}{2} + i\delta_1\right) C_{12}(t) = -\frac{\Omega_1 \Omega_2}{2\Gamma} e^{-\frac{R'_2}{2}t/2} \quad (9.29)$$

qui est une équation différentielle linéaire pour  $C_{12}(t)$  avec terme source. Une solution particulière de l'équation avec 2<sup>e</sup> membre s'obtient en posant  $C_{12}(t) = \alpha e^{-\frac{R'_2}{2}t/2}$  dans (9.29), ce qui donne  $\alpha$ . On ajoute à cette solution une solution générale  $\mu e^{-(\frac{R_1}{2} + i\delta_1)t}$  de l'équation sans second membre,  $\mu$  étant déterminé ensuite par la condition initiale  $C_{12}(0) = 0$ . On obtient ainsi (compte tenu de  $R_1 \ll R'_2$ )

$$C_{12}(t) \approx \frac{\Omega_1 \Omega_2}{2\Gamma \left(\frac{R'_2}{2} - i\delta_1\right)} \left[ e^{-\frac{R'_2}{2}t/2} - e^{-(\frac{R_1}{2} + i\delta_1)t} \right] \quad (9.30)$$

- Le crochot de (9.30) passe de 0 à -1 en un temps court  $2/R'_2$ , puis s'annule exponentiellement de -1 à 0 en un temps plus long  $2/R_1$ . Comme  $1/R_1 \gg 1/R'_2$ , la contribution de la 1<sup>re</sup> phase à  $\int_0^\infty |C_{12}(t)|^2 dt$  est négligeable, et on obtient, compte tenu de (9.27)

$$P(1/2) = R_1 \int_0^\infty |C_{12}(t)|^2 dt \approx R_1 \frac{\Omega_1^2 \Omega_2^2}{\Gamma^2 (R'_2 + 4\delta_1^2)} \int_0^\infty e^{-R_1 t} dt = \frac{\Omega_1^2 \Omega_2^2}{\Gamma^2 (R'_2 + 4\delta_1^2)} \quad (9.31)$$

qui on peut encore écrire, compte tenu de (9.3)

$$P(1/2) = \frac{\Omega_1^2}{\Omega_2^2} \frac{1}{1 + \frac{4\delta_1^2}{R'^2}} \quad (9.32)$$

$P(1/2)$  passe donc de  $(\Omega_1/\Omega_2)^2$  à 0 sur un intervalle de valeurs de  $\delta_1$  de largeur  $R'_2$  (Voir Fig.5)

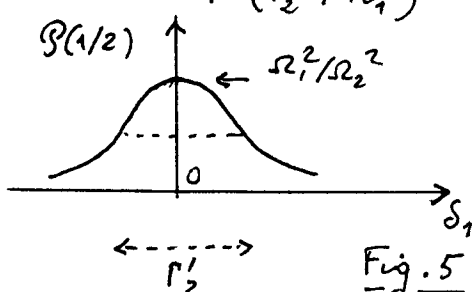


Fig. 5

- On peut encore considérer que  $\Gamma_2'$  est la largeur de la résonance Raman entre  $g_2$  et  $g_1$ , puisque  $g_2$  est plus large que  $g_1$  et a pour largeur  $\Gamma_2'$ .  
Il est donc normal de trouver que l'amplification par effet Raman stimulé  $g_2 \rightarrow g_1$ , maximale pour  $S_1 = 0$ , n'existe que sur une plage de valeurs de  $S_1$  correspondant à la largeur de la résonance Raman.
- En utilisant (9.23) et (9.32), on obtient finalement

$$P([1,2]) = P(1/2) P(2) = \frac{R_2}{2\Gamma_1 + \Gamma_2} \frac{\Omega_1^2}{\Omega_2^2} \frac{1}{1 + \frac{4S_1^2}{\Gamma_2'^2}} \quad (9.33)$$

### b. Gains par émission induite $e \rightarrow g_1$

- D'après (8.19.b), il faut étudier maintenant les périodes  $[1,e]$  et calculer

$$P(1/e) = R_1 \int_0^\infty |C_{1e}(t)|^2 dt \quad (9.34)$$

- Comme la condition initiale correspond maintenant à l'atome dans  $e$  à  $t=0$ , il faut revenir aux équations (9.10).  
On peut à l'aide de ces équations calculer  $C_{1e}(t)$ .

Nous ne ferons pas ici un tel calcul, car nous calculons plus loin (§ d)  $C_{e1}(t)$ , et on peut montrer de manière générale (par exemple sur la transformée de Laplace des équations (9.10)) que

$$C_{1e}(t) = C_{e1}(t) \quad (9.35)$$

- Considérons alors la probabilité conditionnelle

$$P(e/1) = \Gamma \int_0^\infty |C_{e1}(t)|^2 dt \quad (9.36)$$

relative aux périodes  $[e,1]$  associées au processus d'absorption  $g_1 \rightarrow e$ .  
En utilisant (9.35) et en comparant (9.34) et (9.36), on obtient

$$P(1/e) = \frac{R_1}{\Gamma} P(e/1) \ll P(e/1) \quad (9.37)$$

puisque nous supposons ici  $R_1 \ll \Gamma$  (voir 9.5).

- Considérons enfin  $P([1,e])$ . En utilisant le fait que  $P(e) \approx P(1)$  (voir 9.21), on obtient, compte tenu de (9.37)

$$\begin{aligned} P([1,e]) &= P(1/e) P(e) = \frac{R_1}{\Gamma} P(e/1) P(e) \\ &\approx \frac{R_1}{\Gamma} P(e/1) P(1) = \frac{R_1}{\Gamma} P([e,1]) \ll P([e,1]) \end{aligned} \quad (9.38)$$

On en conclut que la probabilité des périodes produisant un gain par émission stimulée  $e \rightarrow g_1$  est négligeable devant celle des périodes produisant une perte par absorption  $g_1 \rightarrow e$ .

### c. Pertes par effet Raman stimulé $g_1 \rightarrow g_2$

- D'après (8.19.c), il faut étudier les périodes  $[2,1]$  et calculer

$$P(2/1) = R_2 \int_0^\infty |C_{21}(t)|^2 dt \quad (9.39)$$

- Comme dans le § précédent, on part de la solution d'ordre 0 en  $\Omega_1/\Gamma$  pour  $C_{11}(t)$  qui vaut 1 pour  $t=0$

$$C_{11}(t) = e^{-(\frac{R_1}{2} + i\delta_1)t} \quad (9.40)$$

et on reporte cette solution dans le dernier terme de l'équation (9.31.b)

relative à  $\dot{c}_{21}(t)$ , où elle se retrouve multipliée par  $\omega_1 \omega_2 / 2\Gamma$

$$\dot{c}_{21}(t) + \frac{\Gamma'_2}{2} c_{21}(t) = -\frac{\omega_1 \omega_2}{2\Gamma} e^{-(\frac{\Gamma_1}{2}+i\delta)t} \quad (9.41)$$

La même méthode que celle suivie pour intégrer l'équation (9.29) conduit à la solution

$$c_{21}(t) \approx \frac{\omega_1 \omega_2}{2\Gamma(\frac{\Gamma'_2}{2}-i\delta_1)} \left[ e^{-\frac{\Gamma'_2 t}{2}} - e^{-(\frac{\Gamma_1}{2}+i\delta)t} \right] \quad (9.42)$$

On constate, en comparant (9.30) et (9.42) que  $c_{21}(t) = c_{12}(t)$ , ce qui montre bien le caractère symétrique de l'effet Raman stimulé, la dissymétrie ne peut provenir que des taux d'entrée dans  $g_1$  et  $g_2$  et des taux de départ de ces états. Nous discuterons ce point plus loin.

L'intégrale (9.39) donnant  $P(2/1)$  est donc la même que l'intégrale (9.31) donnant  $P(1/2)$ , au remplacement près de  $R_1$  par  $R_2$ . On déduit alors immédiatement de (9.32) que

$$P(2/1) = \frac{R_2}{R_1} \frac{\omega_1^2}{\omega_2^2} \frac{1}{1 + \frac{4\delta_1^2}{\Gamma_2'^2}} \quad (9.43)$$

$P(2/1)$  passe donc de  $\frac{R_2}{R_1} \frac{\omega_1^2}{\omega_2^2}$  à 0

sur un intervalle de valeurs de  $\delta_1$  de

largeur  $\Gamma'_2$  autour de 0, ce qui correspond bien à la largeur de la résonance Raman (Fig. 6).

- En utilisant (9.43) et (9.23), on obtient

$$P([2,1]) = P(2/1) P(1) = \frac{\Gamma_1}{2\Gamma_1 + \Gamma_2} \frac{R_2}{R_1} \frac{\omega_1^2}{\omega_2^2} \frac{1}{1 + \frac{4\delta_1^2}{\Gamma_2'^2}} \quad (9.44)$$

- La comparaison de (9.44) et (9.33) montre alors que

$$\frac{P([2,1])}{R_2 \Gamma_1} = \frac{P([1,2])}{R_1 \Gamma_2} \quad (9.45)$$

La dissymétrie entre les 2 processus Raman stimulés inverses  $g_1 \rightarrow g_2$  et  $g_2 \rightarrow g_1$  apparaît bien sur (9.45) comme étant due aux différences entre les taux d'entrée et de sortie dans les niveaux concernés.

Le passage  $g_1 \rightarrow g_2$  a une probabilité proportionnelle au taux d'entrée  $\Gamma_1$  dans  $g_1$  et au taux de sortie  $R_2$  à partir de  $g_2$  (voir Fig. 3 du cours VIII) alors que le passage  $g_2 \rightarrow g_1$  a une probabilité proportionnelle au taux d'entrée  $\Gamma'_2$  dans  $g_2$  et au taux de sortie  $R_1$  de  $g_1$ . Les gains Raman ne sont donc supérieurs aux pertes que si  $R_1 \Gamma_2 > R_2 \Gamma_1$ .

$$\text{Gains Raman} > \text{Perte Raman} \quad \text{si} \quad R_1 \Gamma_2 > R_2 \Gamma_1 \quad (9.46)$$

Notons bien que le taux de départ  $\Gamma'_2$  à partir de  $g_2$  n'apparait pas dans une telle condition (alors qu'il apparaît dans l'expression (9.25) des populations stationnaires). Ceci est dû au fait que  $\Gamma'_2$  décrit des transitions à l'intérieur de  $E(N_1, N_2)$ . Une fois le système sorti de  $g_1, N_1+1, N_2$  à  $g_2, N_1, N_2+1$ , s'il revient à  $e, N_1, N_2$  avec un taux  $\Gamma'_2$  et qu'il quitte ensuite  $E(N_1, N_2)$  à partir de  $e$ , la perte des photons  $w_2$ , n'est plus due à l'effet Raman stimulé  $g_1 \rightarrow g_2$ , mais à l'absorption  $g_2 \rightarrow e$ .

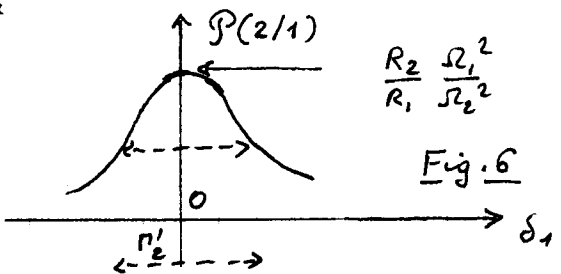


Fig. 6

## d - Pertes dues à l'absorption $|e\rangle \rightarrow |e\rangle$

IX-9

- D'après (8.19.d), il faut étudier les périodes  $[e, 1]$  et calculer

$$P(e/1) = \Gamma \int_0^\infty |C_{e1}(t)|^2 dt \quad (9.47)$$

- Revenons à l'équation (9.10.a)

$$\dot{C}_{e1}(t) = -\frac{\Gamma}{2} C_{e1}(t) - i \frac{\Omega_1}{2} C_{11}(t) - i \frac{\Omega_2}{2} C_{21}(t) \quad (9.48)$$

Après un régime transitoire, durant un temps très court de l'ordre de  $2/\Gamma$ ,  $C_{e1}(t)$  est passé de 0 à sa valeur adiabatique (9.11)

$$t > \frac{1}{\Gamma} \quad C_{e1}(t) \approx -i \frac{\Omega_1}{\Gamma} C_{11}(t) - i \frac{\Omega_2}{2} C_{21}(t) \quad (9.49)$$

En reportant dans (9.49) les valeurs (9.40) et (9.42) de  $C_{11}(t)$  et  $C_{21}(t)$  données plus haut, on obtient

$$C_{e1}(t) = \left[ -i \frac{\Omega_1}{\Gamma} + i \frac{\Omega_2}{\Gamma} \frac{\Omega_1 \Omega_2}{2\Gamma(\frac{\Omega_1'}{2} - i\delta_1)} \right] e^{-(\frac{\Omega_1}{2} + i\delta)t} - i \frac{\Omega_2}{\Gamma} \frac{\Omega_1 \Omega_2}{2\Gamma(\frac{\Omega_1'}{2} - i\delta)} e^{-\frac{\Omega_1'}{2}t} \quad (9.50)$$

- Supposons tout d'abord  $\delta_1 = 0$ . On constate alors, en utilisant (9.3), que le 1<sup>er</sup> crochet du 2<sup>em</sup> membre de (9.50) (coefficient de l'exponentielle à constante de temps longue, en  $2/R_1$ ) s'annule. On a alors

$$\delta_1 = 0 \rightarrow C_{e1}(t) = -i \frac{\Omega_1}{\Gamma} e^{-\frac{\Omega_1'}{2}t} \quad (9.51)$$

de sorte que

$$P(e/1) = \Gamma \frac{\Omega_1^2}{\Omega^2} \int_0^\infty e^{-\frac{\Omega_1'}{2}t} dt = \frac{\Omega_1^2}{\Gamma} \frac{1}{\Omega_1'} = \frac{\Omega_1^2}{\Omega_2^2} \quad \text{pour } \delta_1 = 0 \quad (9.52)$$

L'interprétation d'un tel résultat est simple. Quand  $\delta_1 = 0$ , il y a un état "non-couplé"  $|\Psi_{NC}\rangle$ , qui ne peut absorber de lumière, très proche de  $|g_1\rangle$  (puisque  $\Omega_1 \ll \Omega_2$ ), et un état couplé  $|\Psi_C\rangle$  qui est couplé à  $|e\rangle$  et qui est très proche de  $|g_2\rangle$ . De manière plus précise

$$|g_1, N_1+1, N_2\rangle = \frac{\Omega_2}{\Omega} |\Psi_{NC}\rangle + \frac{\Omega_1}{\Omega} |\Psi_C\rangle \quad (9.53)$$

où  $\Omega = \sqrt{\Omega_1^2 + \Omega_2^2} \approx \Omega_2$ . A  $t=0$ , on part de (9.53). Puis les 2 parties de (9.53) décroissent avec des constantes de temps,  $2/R_1$  pour  $|\Psi_{NC}\rangle$ ,  $2/\Omega'_2$  pour  $|\Psi_C\rangle$ . L'état  $|e, N_1, N_2\rangle$  est alimenter à partir de ces 2 composantes, avec une efficacité nulle pour  $|\Psi_{NC}\rangle$  qui est un prége parfait vis à vis de  $|e\rangle$  pour  $\delta_1 = 0$ . Après un temps  $1/\Omega'_2$ , la composante  $|\Psi_C\rangle$ , de poids  $\Omega_1^2/\Omega^2 \approx \Omega_1^2/\Omega_2^2$  se sera désintégrée via  $|e\rangle$ , ce qui explique le résultat (9.52). Puis, la partie en  $|\Psi_{NC}\rangle$  décroîtra plus lentement par absorption de rayonnement incohérent vers l'état  $|e, N_1+1, N_2\rangle$  sans variation de  $N_1$ .

- Supposons maintenant  $\delta_1 \neq 0$ . Le coefficient de  $e^{-(\frac{\Omega_1}{2} + i\delta_1)t}$  peut être réduit, compte tenu de (9.3)

$$-i \frac{\Omega_1}{\Gamma} \frac{\delta_1}{\delta_1 + i \frac{\Omega_1'}{2}} \quad (9.54)$$

qui est bien nul pour  $\delta_1 = 0$  et qui a un module tendant vers  $\frac{\Omega_1}{\Gamma}$  quand  $|\delta_1| \gg \Omega_1'/2$ , c'est à dire quand on sort de la résonance Raman. Dans cette limite, la contribution de la 1<sup>re</sup> exponentielle de (9.50),  $-i \frac{\Omega_1}{\Gamma} e^{-(\frac{\Omega_1}{2} + i\delta_1)t}$ , à l'intégrale (9.47) devient prépondérante devant celle de la seconde (en  $e^{-\Omega_1't/2}$ ), et l'on a

$$|\delta_1| \gg \Omega_1' \rightarrow P(e/1) = \Gamma \frac{\Omega_1^2}{\Omega^2} \int_0^\infty e^{-R_1 t} dt = \frac{\Omega_1^2}{\Gamma R_1} \quad (9.55)$$

là aussi, l'interprétation physique est claire. En dehors de la résonance Raman, les effets d'interférence destructive entre  $c_{11}(t)$  et  $c_{21}(t)$  dans l'état  $|4\rangle_{\text{RC}}$  n'existent plus. On peut calculer la désintégration de  $g_1$  par absorption de rayonnement cohérent, indépendamment de la présence de  $g_2$ . On peut alors définir un taux d'absorption

$$\Gamma'_1 = \frac{\Omega_1^2}{P} \quad (9.56)$$

à partir de  $g_1$ , analogue au taux  $\Gamma'_2$  introduit en (9.3) pour  $g_2$ . Comme on suppose  $\Omega_1 \ll P$  et  $\Omega_1 \ll R_1$ ,  $\Gamma'_1 \ll R_1$ , et la désintégration de  $g_1$  est essentiellement contrôlée par l'absorption de rayonnement incohérent avec un taux  $R_1$ . On obtient donc la probabilité d'absorber un photon  $\omega_L$  du rayonnement cohérent en multipliant le taux d'absorption (9.56) par la durée de séjour  $1/R_1$  de l'atome dans  $g_1$ , ce qui redonne bien (9.55)

- Comparons les valeurs (9.52) et (9.55) de  $P(e/1)$

$$\frac{P(e/1) \text{ pour } \delta_1=0}{P(e/1) \text{ pour } |\delta_1| \gg \Gamma'_2} = \frac{\Omega_1^2 / \Omega_2^2}{\Omega_1^2 / \Gamma R_1} = \frac{\Gamma R_1}{\Omega_2^2} = \frac{R_1}{\Gamma'_2} \ll 1 \quad (9.57)$$

compte tenu de (9.5).

Un tel résultat montre bien l'importance des interférences quantiques entre amplitudes d'absorption qui réduisent les pertes par absorption de photons  $\omega_L$  par un facteur considérable  $\Gamma'_2/R_1 \gg 1$  quand la condition de résonance Raman  $\delta_1=0$  est vérifiée

- les pertes minimales par absorption sont donc obtenues pour  $\delta_1=0$ . Calculons alors  $P([e,1])$ . En utilisant (9.52) et (9.23), on obtient

$$\delta_1=0 \rightarrow P([e,1]) = P(e/1) P(1) = \frac{P_1}{2P_1+P_2} \frac{\Omega_1^2}{\Omega_2^2} \quad (9.58)$$

## ⑦ Récapitulation

### a - Condition d'amplification .

- La variation moyenne du nombre  $N_1$  de photons  $\omega_L$  par période est donnée en (8.38). Nous avons vu plus haut que  $P([1,e])$ , qui représente le gain par émission induite, est négligeable. On a donc

$$\langle \Delta N_1 \rangle = P([1,e]) - P([2,1]) - P(E[e,1]) \quad (9.59)$$

- Calculons  $\langle \Delta N_1 \rangle$  pour  $\delta_1=0$ , puisque c'est pour cette valeur de  $\delta_1$  que le gain  $P([1,e])$  est maximal et les pertes par absorption  $P([e,1])$  minimales. En utilisant (9.33), (9.44) et (9.58), on obtient

$$\langle \Delta N_1 \rangle = \frac{1}{2P_1+P_2} \frac{\Omega_1^2}{\Omega_2^2} \frac{1}{R_1} [P_2 R_1 - P_1 R_2 - P_1 R_1] \quad \text{pour } \delta_1=0 \quad (9.60)$$

La condition d'amplification,  $\langle \Delta N_1 \rangle > 0$ , s'écrit donc  $P_2 R_1 > P_1 R_2 + P_1 R_1$ , soit encore

$$\frac{R_2 + R_1}{R_1} < \frac{P_2}{P_1} \quad (9.61)$$

## b - Compatibilité avec la condition de non-inversion

IX-11

En regroupant (9.61) et la condition (9.26) de non-inversion, on obtient la double inégalité :

$$\frac{R_2 + R_1}{R_1} < \frac{\Gamma_2}{\Gamma_1} < \frac{\Gamma'_2}{R_1} \quad (9.62)$$

Ces 2 inégalités ne sont compatibles que si  $\Gamma'_2 > R_2 + R_1$ , ce qui est bien le cas, compte tenu de (9.5)

## c - Conclusion

- La méthode des sants quantiques et des fonctions délais suivie dans ces 2 cours VIII et IX permet d'analyser en détail un modèle simple d'amplificateur sans inversion de population. Elle conduit à des résultats identiques à ceux donnés par les équations de Bloch optiques (voir Ref 1 page VIII-11), dans la limite considérée ici (voir § 4).
- Les calculs présentés ici peuvent sembler plus longs que ceux effectués dans une résolution analytique ou numérique des équations de Bloch optiques. Ils ont cependant le grand avantage de pouvoir isoler la contribution de chaque processus physique et de comprendre les paramètres qui contrôlent chaque processus.
- Ainsi, nous avons vu que le gain était lié à un processus Raman stimulé, la symétrie avec le processus inverse étant rompue par l'inégalité entre les temps d'entrée dans  $g_1$  et  $g_2$  et sur de sortie de  $g_1$  et  $g_2$ .
- À la limite  $R_1 \ll R_2$ , les pertes par absorption de rayonnement cohérent à partir de  $g_1$  sont considérablement réduites par un effet d'interférence quantique destructive. C'est cette réduction des pertes par absorption qui permet l'amplification du champ  $w_{L1}$ .
- Cette interférence destructive n'opère pas pour l'absorption de rayonnement cohérent à partir de  $g_2$ . Le temps moyen passé dans  $g_2$  est considérablement réduit par l'absorption de rayonnement cohérent  $w_{L2}$  et c'est ce qui permet d'avoir un niveau  $g_2$  beaucoup moins peuplé que  $g_1$  (non-inversion).
- Les effets d'interférence quantique à la base de l'amplification sans inversion ne disparaissent que lorsque la condition de résonance Raman est parfaitement remplie, à la largeur  $\Gamma'_2$  du niveau  $g_2$  près.